

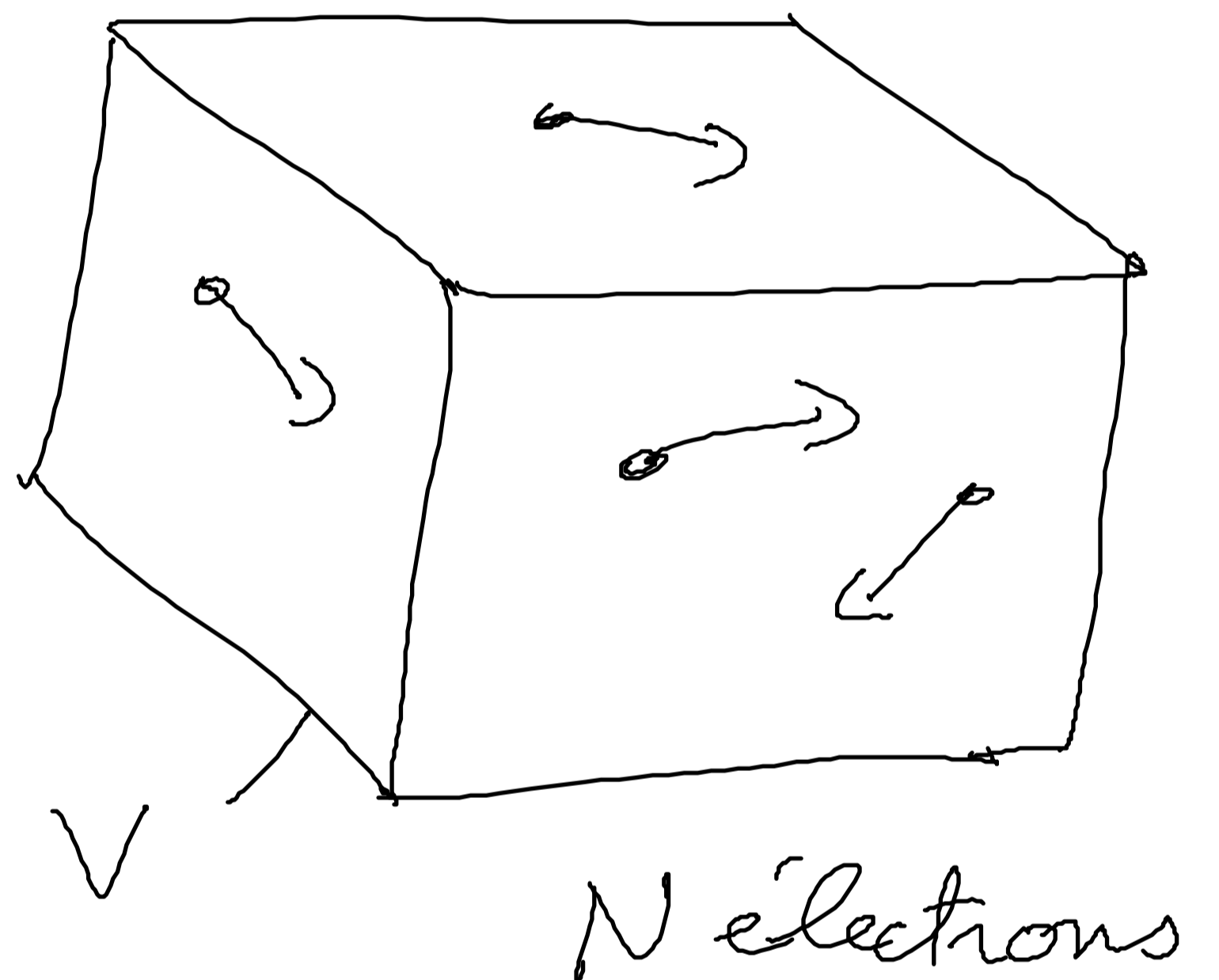
# Transitions de phase en supraconductivité

## Modèle BCS

### 2 Gaz d'électrons libres

Pour un électron de spin  $\frac{1}{2}$   
 position  $x \in$  volume  $V$   
 impulsion  $p = \hbar k \in \mathbb{R}^3$   
 l'énergie est  $\uparrow$  vecteur d'onde

$$H(x, k) = \frac{|p|^2}{2m} = \frac{\hbar^2 |k|^2}{2m}$$



D'après la loi de Weyl, le nombre  $N$  d'états  
 d'énergie inférieure à  $\mu$  est le volume  
 correspondant dans l'espace des phases  $(x, k)$ ,  
 renormalisé par  $(2\pi)^d$   $\leftarrow d=3$  : nombre de degrés de liberté.

On remarque que la condition  $H(x, k) \leq \mu$

$$\Leftrightarrow \begin{cases} x \in \text{domaine de volume } V \\ |k| \leq R = \frac{1}{\hbar} (2m\mu)^{1/2} : k \in \text{Boule de rayon } R \end{cases}$$

Cela donne (car 2 états de spin)

$$N = \frac{2}{(2\pi)^3} \text{Vol} \{ (x, k) \mid + \cdot q \quad H(x, k) \leq \mu \}$$

$$= \frac{2}{(2\pi)^3} V \times \left( \frac{4}{3} \pi R^3 \right)$$

↑ volume du domaine permis en position  $x$

↑ volume de la sphère de rayon  $R$  dans l'espace des vecteurs d'ondes  $k \in \mathbb{R}^3$

$$= \frac{2}{8\pi^3 \hbar^3} V \frac{4}{3} \pi (2m\mu)^{3/2}$$

$$N = \frac{V}{3\pi^2 \hbar^3} (2m\mu)^{3/2}$$

$\Leftrightarrow$

$$\mu = \frac{\hbar^2}{2m} \left( \frac{3\pi^2 N}{V} \right)^{2/3}$$

### 3 Base de l'espace de Fock Fermionique

(1)

Champs quantiques $ N(0)\rangle$	$a_1^+  N(\cdot)\rangle$	$a_1  N(\cdot)\rangle$	$a_2 a_1^+  N(\cdot)\rangle$	$a_1^+ a_1 + a_2^+ a_2  N(\cdot)\rangle$
$ 0,1\rangle$	$ 1,1\rangle$	0	$ 1,0\rangle$	$1 \times  0,1\rangle$
$ 1,0\rangle$	0	$ 0,0\rangle$	0	$1 \times  1,0\rangle$
$ 0,0\rangle$	$ 1,0\rangle$	0	0	0
$ 1,1\rangle$	0	$ 0,1\rangle$	0	$2 \times  1,1\rangle$

rem : pour expliquer la dernière colonne, par exemple

$$a_1^+ a_1 |0,1\rangle = 0, \quad a_2^+ a_2 |0,1\rangle = a_2^+ |0,0\rangle = |0,1\rangle$$

$$\text{donc } (a_1^+ a_1 + a_2^+ a_2) |0,1\rangle = 0 + |0,1\rangle = |0,1\rangle$$

On observe que  $a_p^+ a_p |N(\cdot)\rangle = N(p) |N(\cdot)\rangle$

avec  $N(p) \in \{0, 1\}$  : nombre de particule dans  
l'état  $p$ .

Ainsi l'opérateur  $a_p^+ a_p$  "compte le nombre  
de particules dans l'état  $p$ ".



(2) Il suffit de le montrer sur un seul état à une particule, de base  $|0\rangle, |1\rangle$ .

On considère toutes les possibilités:

$$\langle 0|a^+1\rangle = 0, \quad \langle 0|a^+0\rangle = \langle 0|1\rangle = 0$$

$$\langle 1|a^+0\rangle = \langle 1|1\rangle = 1, \quad \langle 1|a^+1\rangle = 0$$

et  $\langle a0|1\rangle = 0, \quad \langle a0|0\rangle = 0$

$$\langle a1|0\rangle = \langle 0|0\rangle = 1, \quad \langle a1|1\rangle = \langle 0|1\rangle = 0$$

donc dans les listes ci-dessus on observe que

$$\langle N|a^+N'\rangle = \langle aN|N'\rangle, \quad \forall N, N' \in \{0, 1\}$$

cela est équivalent (car  $|0\rangle, |1\rangle$  est une base)

$$\text{à } \forall u, v \in \mathcal{F} \quad \langle u|a^+v\rangle = \langle au|v\rangle,$$

donc  $a^+$  est l'opérateur adjoint de  $a$

$$\text{et réciproquement } ((a^+)^+ = a)$$

$$\textcircled{3} \quad \text{Posons } \hat{A} := \int_{\mathbb{R}^3} E_{\text{cin}}(p) a_p^+ a_p d^3p$$

On veut montrer que  $\hat{H}_{\text{cin}} = \hat{A}$  : égalité  
d'opérateurs

Pour cela, il suffit de vérifier qu'ils ont la même  
action sur les vecteurs de bases  $|N(\cdot)\rangle$ .

$$\text{D'une part } \hat{H}_{\text{cin}} |N(\cdot)\rangle = E_{N(\cdot)} |N(\cdot)\rangle$$

c'est à dire que  $|N(\cdot)\rangle$  est vecteur propre, avec la  
valeur propre  $E_{N(\cdot)} = \int_{\mathbb{R}^3} N(p) E_{\text{cin}}(p) d^3p$

$$\text{D'autre part } a_p^+ a_p |N(\cdot)\rangle = N(p) |N(\cdot)\rangle$$

d'après la question 1.

$$\text{Donc } \hat{A} |N(\cdot)\rangle = \int_{\mathbb{R}^3} E_{\text{cin}}(p) N(p) |N(\cdot)\rangle d^3p \\ = E_{N(\cdot)} |N(\cdot)\rangle$$

$$\text{donc } \hat{A} = \hat{H}_{\text{cin}}$$

De même on montre que

$$\hat{N} = \int_{\mathbb{R}^3} a_p^\dagger a_p d^3p$$

$$\hat{H}_{GC} = \int_{\mathbb{R}^3} \varepsilon'(p) a_p^\dagger a_p d^3p$$

(4) L'état fondamental de  $\hat{H}_{GC}$  est un état de base de la forme  $|N(\cdot)\rangle$  (champs quantifiés)

avec le champ classique  $N(\cdot): p \mapsto N(p)$

qui minimise la valeur propre  $\varepsilon'_{N(\cdot)}$ :

$$\hat{H}_{GC} |N(\cdot)\rangle = \varepsilon'_{N(\cdot)} |N(\cdot)\rangle$$

$$\text{avec } \varepsilon'_{N(\cdot)} = \int_{\mathbb{R}^3} \varepsilon'(p) N(p) d^3p.$$

Posons  $|\psi_{\text{fond}}\rangle = |N(\cdot)\rangle$  état fondamental

qui minimise  $\varepsilon'_{N(\cdot)}$ .

Pour cela il faut :

• si  $\epsilon(p) \leq 0 \Leftrightarrow E_{\text{cin}}(p) \leq \mu \Leftrightarrow p \in \text{sphère de Fermi}$   
il faut  $N(p) = 1$  : état occupé

• si  $\epsilon(p) > 0 \Leftrightarrow E_{\text{cin}}(p) > \mu \Leftrightarrow p \notin \text{sphère de Fermi}$   
il faut  $N(p) = 0$  : état inoccupé

Rem : comme déjà vu en [1], l'état

fondamental correspond à un champ où seuls les

états dans la sphère de Fermi sont occupés.

• Comme pour un  $p \in \mathbb{R}^3$  fixé,  $|1\rangle = a_p^\dagger |0\rangle$ ,

On peut écrire :

$$\begin{aligned} |\Psi_{\text{fond}}\rangle &= |N(\cdot) = (\underbrace{1, 1, 1, \dots, 1}_{\substack{\text{pour tous les} \\ p+q \quad E_{\text{cin}}(p) \leq \mu}}, \underbrace{0, \dots, 0}_{\substack{\text{si } E_{\text{cin}}(p) > \mu}})\rangle \\ &= \left( \prod_{\substack{p+q \\ E_{\text{cin}}(p) \leq \mu}} a_p^\dagger \right) | \underbrace{0, 0, \dots, 0}_{\text{état du vide}} \rangle \end{aligned}$$

⑤. Pour des fermions,  $N(p) = 0$  ou  $1$ .

$$a_p |0\rangle = 0, \quad a_p |1\rangle = |0\rangle$$

$$a_p^\dagger |0\rangle = |1\rangle, \quad a_p^\dagger |1\rangle = 0$$

donc 
$$a_p a_p^\dagger + a_p^\dagger a_p |0\rangle = a_p |1\rangle + 0$$
$$= |0\rangle = \text{Id} |0\rangle$$

$$a_p a_p^\dagger + a_p^\dagger a_p |1\rangle = 0 + a_p^\dagger |0\rangle$$
$$= |1\rangle = \text{Id} |1\rangle$$

donc 
$$a_p a_p^\dagger + a_p^\dagger a_p = \text{Id}$$

car ces opérateurs ont la même action sur les vecteurs de base.

• Pour les bosons,  $N(p) = 0$  ou  $1, 2, 3 \dots$

pour  $n \in \mathbb{N}$ , 
$$a_p |N\rangle = \sqrt{N} |N-1\rangle$$

$$a_p^\dagger |N\rangle = \sqrt{N+1} |N+1\rangle$$

donc 
$$a_p a_p^\dagger - a_p^\dagger a_p |N\rangle = a_p \sqrt{N+1} |N+1\rangle$$
$$- a_p^\dagger \sqrt{N} |N-1\rangle = (\sqrt{N+1})^2 |N\rangle - (\sqrt{N})^2 |N\rangle$$
$$= ((N+1) - N) |N\rangle = |N\rangle = \text{Id} |N\rangle$$

4

# Interactions entre les électrons et Hamiltonien B.C.S.

①

avant

après collision

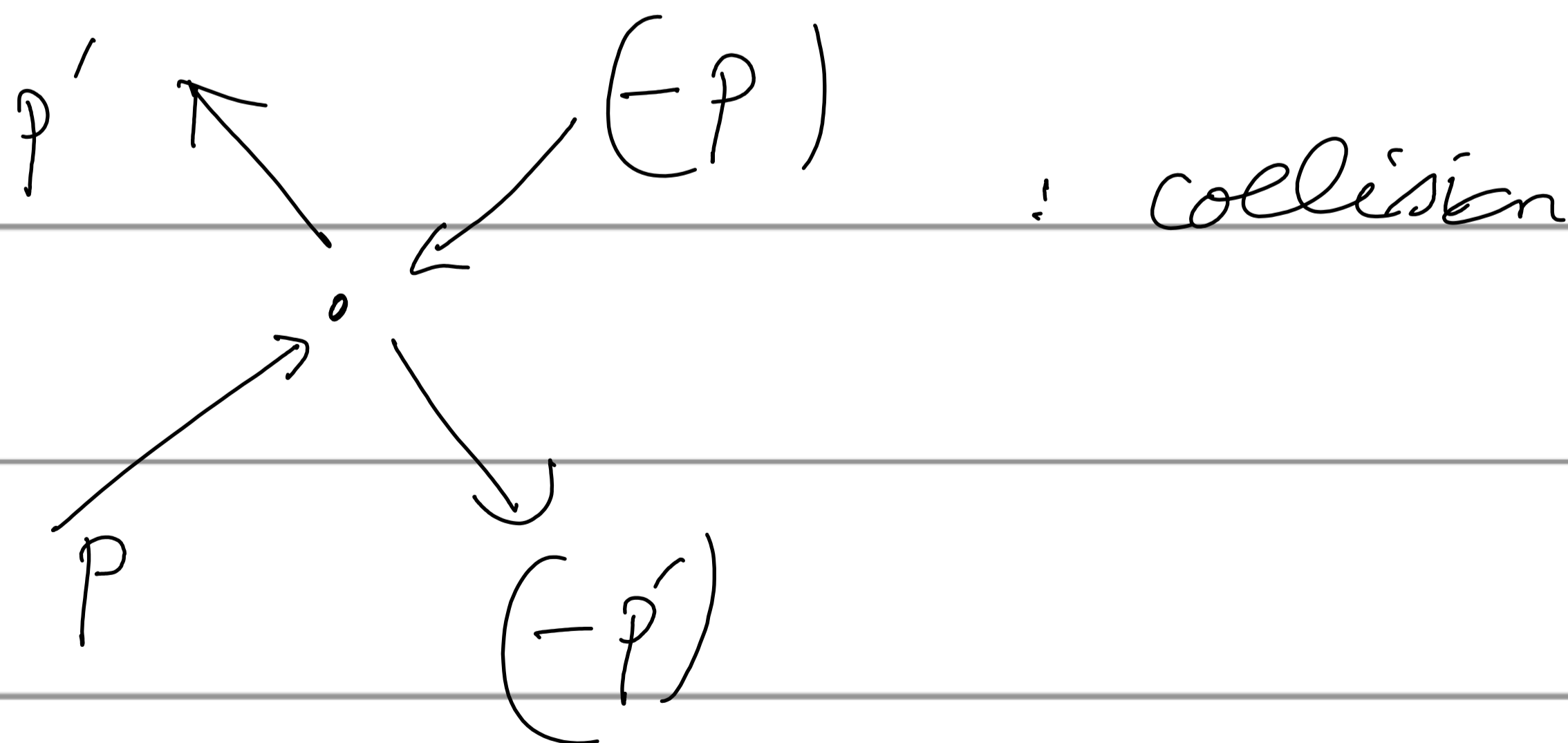
$$0 = p_1 + p_2$$

↑  
impulsion totale  
nulle

$$= p_1' + p_2'$$

↑  
conservation de  
l'impulsion totale

$$\Leftrightarrow \begin{cases} p_2 = -p_1 & : \text{paire } (p, -p) \text{ avec } p = p_1 \\ p_2' = -p_1' & : \text{paire } (p', -p') \text{ avec } p' = p_1' \end{cases}$$



# ⑤ Approximation du champs moyen méthode variationnelle

$$\textcircled{1} \quad \hat{H}_{BCS}^{\text{approx}} = \hat{H}_{\text{cin}} - \mu \hat{N} + \hat{H}_{\text{inter}}^{\text{approx}}$$

$$\text{or } \hat{H}_{\text{inter}}^{\text{approx}} = -V_0 \int_{p, p' \in D} b_{p'}^+ \langle b_p \rangle + \underbrace{\langle b_{p'}^+ \rangle}_{\langle b_{p'} \rangle} b_p - \langle b_{p'}^+ \rangle \langle b_p \rangle$$

$$= \int_{p \in D} \left[ -V_0 \int_{p' \in D} \langle b_{p'} \rangle dp' \right] b_p^+ dp \quad \left( : \text{on a échangé les notations } p \leftrightarrow p' \right)$$

$$+ \int_{p \in D} \left[ V_0 \int_{p' \in D} \overline{\langle b_{p'} \rangle} dp' \right] b_p dp$$

$$- V_0 \left( \int_{p' \in D} \overline{\langle b_{p'} \rangle} dp' \right) \left( \int_{p \in D} \langle b_p \rangle dp \right) \text{Id}$$

donc

$$\hat{H}_{\text{inter}}^{\text{approx}} = \int_{p \in D} \left( \Delta b_p^+ + \bar{\Delta} b_p \right) dp - \frac{1}{V_0} |\Delta|^2 \text{Id}$$

avec  $\Delta := -V_0 \int_{p \in D} \langle b_p \rangle dp$

et  $\hat{H}_{\text{cin}} - \mu \hat{N}$  (on ignore les  $e^-$  bas de la couche S)

$$= \int_{p \in S} \epsilon'_p a_p^\dagger a_p + \epsilon'_{-p} a_{-p}^\dagger a_{-p} dp$$

$$= \int_{p \in D} \epsilon'_p (a_p^\dagger a_p + a_{-p}^\dagger a_{-p}) dp$$



donc

$$H_{BCS}^{\text{approx}} = \int_{p \in S} \varepsilon'_p (a_p^\dagger a_p + a_{-p}^\dagger a_{-p}) + \Delta b_p^\dagger + \bar{\Delta} b_p \, dp + C \mathbb{I}$$

avec  $C = -\frac{1}{V_0} |\Delta|^2$

Pour  $p \in S$  fixé, on pose

$$H_{BCS}^{\text{approx}}(p) := \varepsilon'_p (a_p^\dagger a_p + a_{-p}^\dagger a_{-p}) + \Delta b_p^\dagger + \bar{\Delta} b_p$$

Ces opérateurs  $\hat{H}_{\text{BCS}}^{\text{approx}}(p)$  agit

dans l'espace de Fock  $F_{(-p,p)}$  d'une paire

de Cooper  $(p, -p)$ , de base  $|N_p, N_{-p}\rangle$

On calcule avec  $N_p, N_{-p} \in \{0, 1\}$ .

$$H_{\text{BCS}}^{\text{approx}}(p) |1, 0\rangle = \epsilon'_p |1, 0\rangle$$

$$\hat{H}_{\text{BCS}}^{\text{approx}}(p) |0, 1\rangle = \epsilon'_p |0, 1\rangle$$

$$\hat{H}_{\text{BCS}}^{\text{approx}}(p) |0, 0\rangle = \Delta b_p^+ |0, 0\rangle$$

$$= \Delta |1, 1\rangle$$

$$\hat{H}_{\text{BCS}}^{\text{approx}}(p) |1, 1\rangle = 2\epsilon'_p |1, 1\rangle + \bar{\Delta} |0, 0\rangle$$

Donc dans la base  $|1, 0\rangle, |0, 1\rangle, |0, 0\rangle, |1, 1\rangle$

$$H_{\text{BCS}}^{\text{approx}}(p) \equiv \left( \begin{array}{cc|cc} \epsilon'_p & 0 & 0 & 0 \\ 0 & \epsilon'_p & 0 & 0 \\ \hline 0 & 0 & 0 & \bar{\Delta} \\ 0 & 0 & \Delta & 2\epsilon'_p \end{array} \right)$$

② La matrice précédente est constituée  
d'une partie diagonale avec 2 vecteurs propres :

$$H_{\text{BCS}}^{\text{approx}}(p) |1,0\rangle = \varepsilon'_p |1,0\rangle$$

$$H_{\text{BCS}}^{\text{approx}}(p) |0,1\rangle = \varepsilon'_p |0,1\rangle$$

et d'une matrice  $2 \times 2$  :  $M = \begin{pmatrix} 0 & \bar{\Delta} \\ \Delta & 2\varepsilon'_p \end{pmatrix}$

dans la base  $|0,0\rangle, |1,1\rangle$ ,

dont on cherche maintenant les valeurs propres  $E_{\pm}(p)$

Polynôme caractéristique :  $z \in \mathbb{C} \rightarrow P(z) = \det(z - M)$

$$P(z) = \det \begin{pmatrix} z & -\bar{\Delta} \\ -\Delta & z - 2\varepsilon'_p \end{pmatrix} = z^2 - z 2\varepsilon'_p - |\Delta|^2$$

• les valeurs propres  $E_{\pm}(p)$  sont les zéros de  $P(z)$ :

$$E_{\pm}(p) = \frac{2 \varepsilon'_p \pm \sqrt{D}}{2}, \quad D = 4 \varepsilon'_p{}^2 + 4 |\Delta|^2$$

$$E_{\pm}(p) = \varepsilon'_p \pm \underbrace{(\varepsilon'_p{}^2 + |\Delta|^2)^{1/2}}_{\delta_p}$$

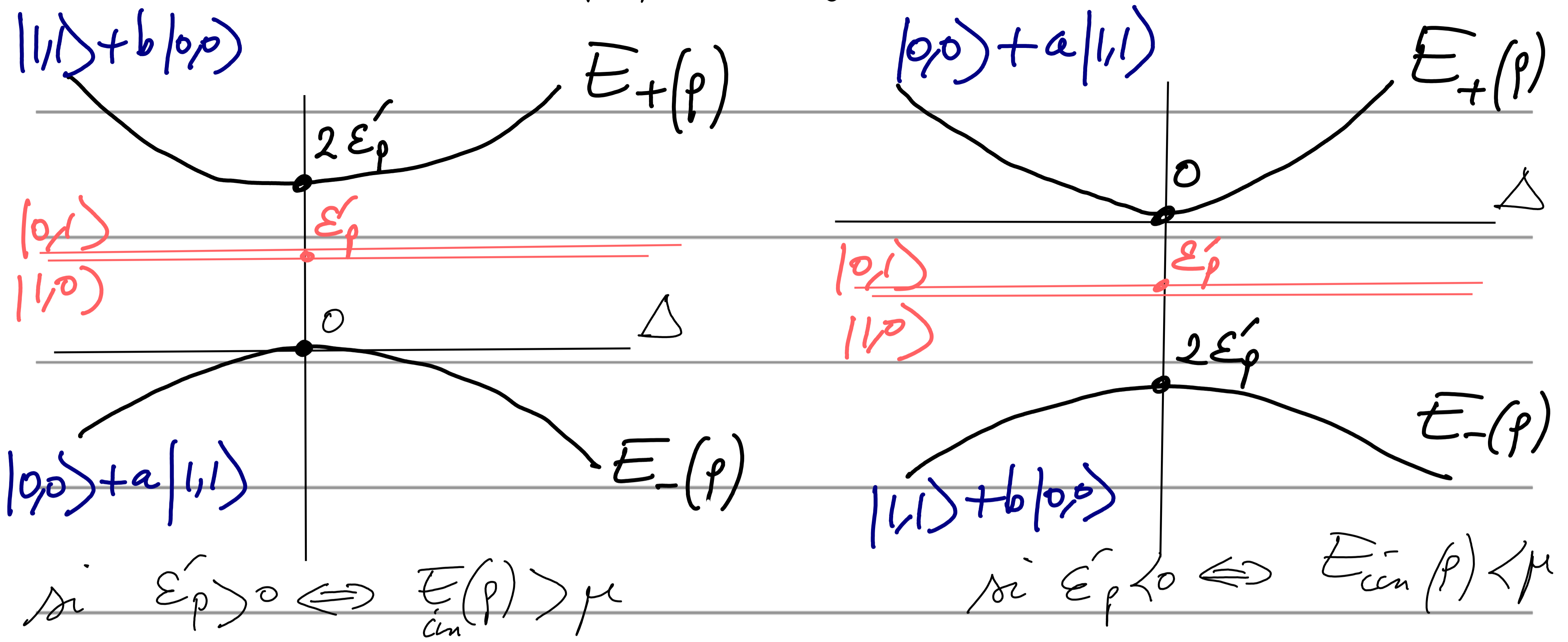
• rem: pour  $\Delta = 0$ ,

$$\text{on a si } \varepsilon'_p > 0, \quad \begin{cases} E_+(p) = 2 \varepsilon'_p \\ E_-(p) = 0 \end{cases}$$

$$\text{si } \varepsilon'_p < 0, \quad \begin{cases} E_+(p) = 0 \\ E_-(p) = 2 \varepsilon'_p \end{cases}$$

comme attendu par l'expression de  $M = \begin{pmatrix} 0 & 0 \\ 0 & 2\varepsilon'_p \end{pmatrix}$

• Schéma des valeurs propres en fonction de  $\Delta$ :



• L'état fondamental a l'énergie  $E_-(p)$ ,  $p \in S$ .

Par définition, le gap spectral est l'énergie qu'il

faut pour passer au premier état excité supérieur.

D'après la figure, ce serait  $\epsilon'_p$ , mais en fait,

il n'y a pas de transition possible entre  $E_-(p)$  qui

possède un nombre pair de particules ( $|0,0\rangle$  ou  $|1,1\rangle$ )

vers ces états intermédiaires  $|0,1\rangle, |1,0\rangle$  à nombre impair

de particules, d'après la régle de conservation du

nombre de particules. Donc seule la transition

$E_-(p) \rightarrow E_+(p)$  est possible,

donnant un gap spectral :

$$E_+(p) - E_-(p) = 2 \delta_p = 2 \left( |\Delta|^2 + \varepsilon_p'^2 \right)^{1/2}$$

$$\boxed{E_+(p) - E_-(p) \geq 2 |\Delta|}$$

$\varepsilon_p'^2 \geq 0$

gap spectral global  
cad indépendant de  $p$

③

Supposons que  $\hat{A}$  est une observable,

$$\hat{A} \psi_j = a_j \psi_j, \quad j = 1, 2, \dots$$

↑ val. propres      ↑ vecteurs propres

Si  $\varphi \in \mathcal{H}$  est un état quantique quelconque  
↑ espace de Hilbert,

alors d'après le principe de la mesure, la probabilité  
d'observer  $a_j$  après une mesure de  $\hat{A}$  sur  $\varphi$  est :

$$P_{\varphi}(j) = \frac{1}{\|\psi_j\|^2 \|\varphi\|^2} |\langle \psi_j | \varphi \rangle|^2$$

Donc la valeur moyenne quantique est

$$\langle A \rangle_{\varphi} := \sum_{j \geq 1} P_{\varphi}(j) a_j$$

↑ probabilité
 ↑ résultat possible

• rem : utilisant la relation de fermeture

$$Id = \sum_j \frac{|\psi_j\rangle \langle \psi_j|}{\|\psi_j\|^2}, \text{ on vérifie que}$$

$$\sum_j P_{\varphi}(j) = \frac{1}{\|\varphi\|^2} \sum_j \frac{\langle \varphi | \psi_j \rangle \langle \psi_j | \varphi \rangle}{\|\psi_j\|^2} = 1$$

• Montrons que

$$\langle A \rangle_{\varphi} = \frac{1}{\|\varphi\|^2} \langle \varphi | \hat{A} \varphi \rangle$$

(formule très utilisée en mécanique quantique).



• en effet  $\hat{A} = \sum_j a_j \frac{|\psi_j\rangle\langle\psi_j|}{\|\psi_j\|^2}$

: décomposition spectrale de  $\hat{A}$

donc

$$\langle A \rangle_\varphi = \sum_j P_\varphi(j) a_j = \frac{1}{\|\varphi\|^2} \sum_j a_j \langle \varphi | \psi_j \rangle \langle \psi_j | \varphi \rangle$$

$$\stackrel{(20-1)}{=} \frac{1}{\|\varphi\|^2} \langle \varphi | \hat{A} \varphi \rangle.$$

• Ensuite, on suppose que le système est couplé à un thermostat à la température  $T$ ,  $\beta = \frac{1}{kT}$

On note

$$\hat{H} \psi_j = E_j \psi_j \quad : \text{niveau d'énergie}$$

D'après la loi de Boltzmann,

la probabilité que le système soit dans l'état  $\psi_j$

d'énergie  $E_j$  est  $P_{BG}(j) = \frac{1}{Z} e^{-\beta E_j}$

avec la constante de normalisation

$$Z = \sum_j e^{-\beta E_j}$$



or dans l'état  $\varphi_j$ , on a déjà une valeur

moyenne quantique pour la grandeur  $A$  qui est  $\langle A \rangle_{\varphi_j}$

Donc la valeur moyenne globale (quantique et statistique)

c'est à dire due aux fluctuations quantiques

et aux fluctuations statistiques et par définition

$$\langle A \rangle_{PBG} := \sum_j P_{BG}(j) \langle A \rangle_{\varphi_j}$$

On va montrer que  $\langle A \rangle_{PBG} = \frac{1}{Z} \text{Tr}(\hat{A} e^{-\beta \hat{H}})$   
avec  $Z = \text{Tr}(e^{-\beta \hat{H}})$ .

On rappelle que si  $(\varphi_j)_j$  est une base orthogonale  
de  $H$  et  $\hat{A}$  un opérateur clas,

$$\text{Tr}(\hat{A}) := \sum_j \frac{1}{\|\varphi_j\|^2} \langle \varphi_j | \hat{A} | \varphi_j \rangle.$$

Pour montrer cela,

$$\bullet \text{ on calcule } \text{Tr}(e^{-\beta \hat{H}}) = \sum_j \frac{1}{\|\varphi_j\|^2} \langle \varphi_j | e^{-\beta \hat{H}} | \varphi_j \rangle$$

$$= \sum_j e^{-\beta E_j} = Z$$

\bullet on calcule

$$\frac{1}{Z} \text{Tr}(\hat{A} e^{-\beta \hat{H}}) = \frac{1}{Z} \sum_j \frac{1}{\|\varphi_j\|^2} \langle \varphi_j | \hat{A} e^{-\beta \hat{H}} | \varphi_j \rangle$$

$$= \frac{1}{Z} \sum_j \frac{1}{\|\varphi_j\|^2} \langle \varphi_j | \hat{A} | \varphi_j \rangle e^{-\beta E_j}$$

$$= \sum_j P_{BG}(j) \langle A \rangle_{\varphi_j} = \langle A \rangle_{P_{BG}}$$

④ On a les paramètres libres jusqu'à présent  $\langle b_p \rangle \in \mathbb{C}$ .

On impose que :

$$\langle b_p \rangle = \langle b_p \rangle_{P_{BG}} \quad : \text{valeur moyenne statistique à la } T.$$

↑  
opérateur

rem :  $\langle b_p^\dagger \rangle_{P_{BG}} = \overline{\langle b_p \rangle_{P_{BG}}} = \overline{\langle b_p \rangle}$  comme déjà vu.

↑  
opérateur adjoint de  $b_p$

On a  $\langle b_p \rangle_{P_{BG}} = \frac{1}{Z} \text{Tr} \left( b_p e^{-\beta H_{BCS}^{\text{approx}}} \right)$

avec  $Z = \text{Tr} \left( e^{-\beta H_{BCS}^{\text{app}}} \right) = \text{Tr} \left( e^{-\beta \left( \int_S H_{BCS}^{\text{app}}(p) dp + C \text{Id} \right)} \right)$

$$= \text{Tr} \left( e^{-\beta C} \text{Id} \right) \prod_{p \in S} \text{Tr} \left( e^{-\beta H_{BCS}^{\text{app}}(p)} \right)$$

Or  $\text{Tr}(\cdot)$  ne dépend pas de la base, on peut donc

utiliser les valeurs propres de  $H_{BCS}^{\text{app}}(p)$  pour calculer :

De même,

$$\text{Tr} \left( b_p e^{-\beta \hat{H}_{\text{BCS}}^{\text{app}}} \right) = \text{Tr} \left( e^{-\beta c} \text{Id} \right) \prod_{p' \in S} \text{Tr} \left( b_p e^{-\beta \hat{H}_{\text{BCS}}^{\text{app}}(p')} \right)$$

où l'opérateur  $b_p$

agit comme  $\text{Id}$  dans l'espace  $\mathcal{F}_{(p', -p')}$  si  $p' \neq p$ .

Donc il reste seulement

$$\langle b_p \rangle_{\text{PBG}} = \frac{\text{Tr} \left( b_p e^{-\beta \hat{H}_{\text{BCS}}^{\text{app}}(p)} \right)}{\text{Tr} \left( e^{-\beta \hat{H}_{\text{BCS}}^{\text{app}}(p)} \right)}$$

On va calculer chacun de ces termes.

$$\begin{aligned}
\text{Tr} \left( e^{-\beta \hat{H}_{\text{BCS}}^{\text{app}}(p)} \right) &= 2 e^{-\beta \varepsilon'_p} + e^{-\beta \varepsilon'_p} + e^{-\beta \varepsilon'_p} \\
&= 2 e^{-\beta \varepsilon'_p} + e^{-\beta \varepsilon'_p} e^{-\beta \Delta_p} + e^{-\beta \varepsilon'_p} e^{\beta \Delta_p} \\
&= e^{-\beta \varepsilon'_p} \left( 2 + e^{-\beta \Delta_p} + e^{\beta \Delta_p} \right) \\
&= e^{-\beta \varepsilon'_p} \left( e^{\frac{\beta}{2} \Delta_p} + e^{-\frac{\beta}{2} \Delta_p} \right)^2 \\
&= 4 e^{-\beta \varepsilon'_p} \cosh^2 \left( \frac{\beta}{2} \Delta_p \right)
\end{aligned}$$

Pour le numérateur, on observe que

$$b_p e^{-\beta \hat{H}_{\text{BCS}}^{\text{app}}(p)} = \left( \frac{1}{-\beta} \right) \frac{\partial}{\partial \Delta} \left( e^{-\beta \hat{H}_{\text{BCS}}^{\text{app}}(p)} \right)$$

$$\text{car } \hat{H}_{\text{BCS}}^{\text{app}}(p) = \varepsilon'_p (a_p^+ a_p + a_{-p}^+ a_{-p}) + \Delta b_p^+ + \bar{\Delta} b_p$$

donc

$$\text{Tr} \left( b_p e^{-\beta \hat{H}_{\text{BCS}}^{\text{app}}(p)} \right) = -\frac{1}{\beta} \frac{\partial}{\partial \Delta} \text{Tr} \left( e^{-\beta \hat{H}_{\text{BCS}}^{\text{app}}(p)} \right)$$

$$= -\frac{1}{\beta} \frac{\partial}{\partial \Delta} \left( 4 e^{-\beta \varepsilon'_p} \cosh^2 \left( \frac{\beta}{2} \Delta_p \right) \right)$$

$\hookrightarrow \Delta_p$  dépend de  $\bar{\Delta}$

$$= -\frac{1}{\beta} 4 e^{-\beta \epsilon'_p} \frac{\partial}{\partial \delta_p} \left( \cosh^2 \left( \frac{\beta}{2} \delta_p \right) \right) \frac{\partial}{\partial \Delta} \left( \delta_p \right)$$

$\delta_p = (\epsilon'_p{}^2 + \Delta^2)^{1/2}$

$$= -\frac{4 e^{-\beta \epsilon'_p}}{\beta} \left( 2 \frac{\beta}{2} \cosh \left( \frac{\beta}{2} \delta_p \right) \sinh \left( \frac{\beta}{2} \delta_p \right) \right) \times \frac{\Delta}{2 \delta_p}$$

$$= -\frac{2 e^{-\beta \epsilon'_p} \Delta}{\delta_p} \cosh \left( \frac{\beta}{2} \delta_p \right) \sinh \left( \frac{\beta}{2} \delta_p \right)$$

done

$$\langle b_p \rangle_{\text{PBG}} = \frac{\text{Tr} \left( b_p e^{-\beta \hat{H}_{\text{BCS}}^{\text{app}}(p)} \right)}{\text{Tr} \left( e^{-\beta \hat{H}_{\text{BCS}}^{\text{app}}(p)} \right)}$$

$$= \frac{2 e^{-\beta \epsilon'_p} \Delta \cosh \left( \frac{\beta}{2} \delta_p \right) \sinh \left( \frac{\beta}{2} \delta_p \right)}{\delta_p 4 e^{-\beta \epsilon'_p} \cosh^2 \left( \frac{\beta}{2} \delta_p \right)}$$

$$= -\frac{\Delta}{2 \delta_p} \tanh \left( \frac{\beta}{2} \delta_p \right)$$

On déduit

$$1 \quad (*) \quad \Delta = -V_0 \int_{p \in S} \langle b_p \rangle dp = \frac{V_0 \Delta}{2} \int_{p \in S} \frac{1}{\delta_p} \tanh\left(\frac{\beta}{2} \delta_p\right) dp$$

$$2 \quad \text{avec} \quad \delta_p = \left( \varepsilon_p'^2 + |\Delta|^2 \right)^{1/2} \quad \text{cad } |\varepsilon'| < E_D$$

Dès le début  $dp$  est la mesure de Weyl qui compte le nombre d'états.

On note  $g$  la densité d'états en énergie. Ainsi

$$(*) \Leftrightarrow \Delta = \frac{V_0 \Delta g}{2} \int_{-E_D}^{+E_D} \frac{1}{\delta_p} \tanh\left(\frac{\beta}{2} \delta_p\right) d\varepsilon'$$

$$3 \quad = V_0 \Delta g \int_0^{E_D} \frac{1}{\delta_p} \tanh\left(\frac{\beta}{2} \delta_p\right) d\varepsilon'$$

Soit  $\Delta=0$ , soit  $c$  est "l'équation du gap" :

$$4 \quad \frac{1}{V_0 g} = \int_0^{E_D} \frac{1}{\delta_p} \tanh\left(\frac{\beta}{2} \delta_p\right) d\varepsilon', \quad \delta_p = \left( \varepsilon_p'^2 + \Delta^2 \right)^{1/2}$$

⑤ Dans l'équation du gap,  $\beta = \frac{1}{kT}$  est connue,

et on cherche  $\Delta$ . On ne peut pas résoudre

cette équation sans ordinateur (un petit programme

1 python par exemple) mais on peut calculer

$\Delta$  dans certaines limites. Par exemple  $T \rightarrow 0$ .

2 Supposons  $0 < T \ll 1 \iff \beta = \frac{1}{kT} \gg 1$

3 on a  $\lim_{x \rightarrow +\infty} \tanh(x) = 1$ , donc l'équation du gap

donne:

$$4 \quad \frac{1}{V_0 g} \approx \int_0^{E_D} \frac{d\varepsilon'}{(\varepsilon'^2 + \Delta^2)^{1/2}} = \int_0^{E_D} \frac{d(\varepsilon'/\Delta)}{\left(\left(\frac{\varepsilon'}{\Delta}\right)^2 + 1\right)^{1/2}}$$

$$= \int_0^{E_D/\Delta} \frac{dx}{(x^2 + 1)^{1/2}} \quad \text{avec } x = \frac{\varepsilon'}{\Delta}$$

5  $\approx \ln\left(2 \frac{E_D}{\Delta}\right)$  : on suppose  $E_D/\Delta \gg 1$

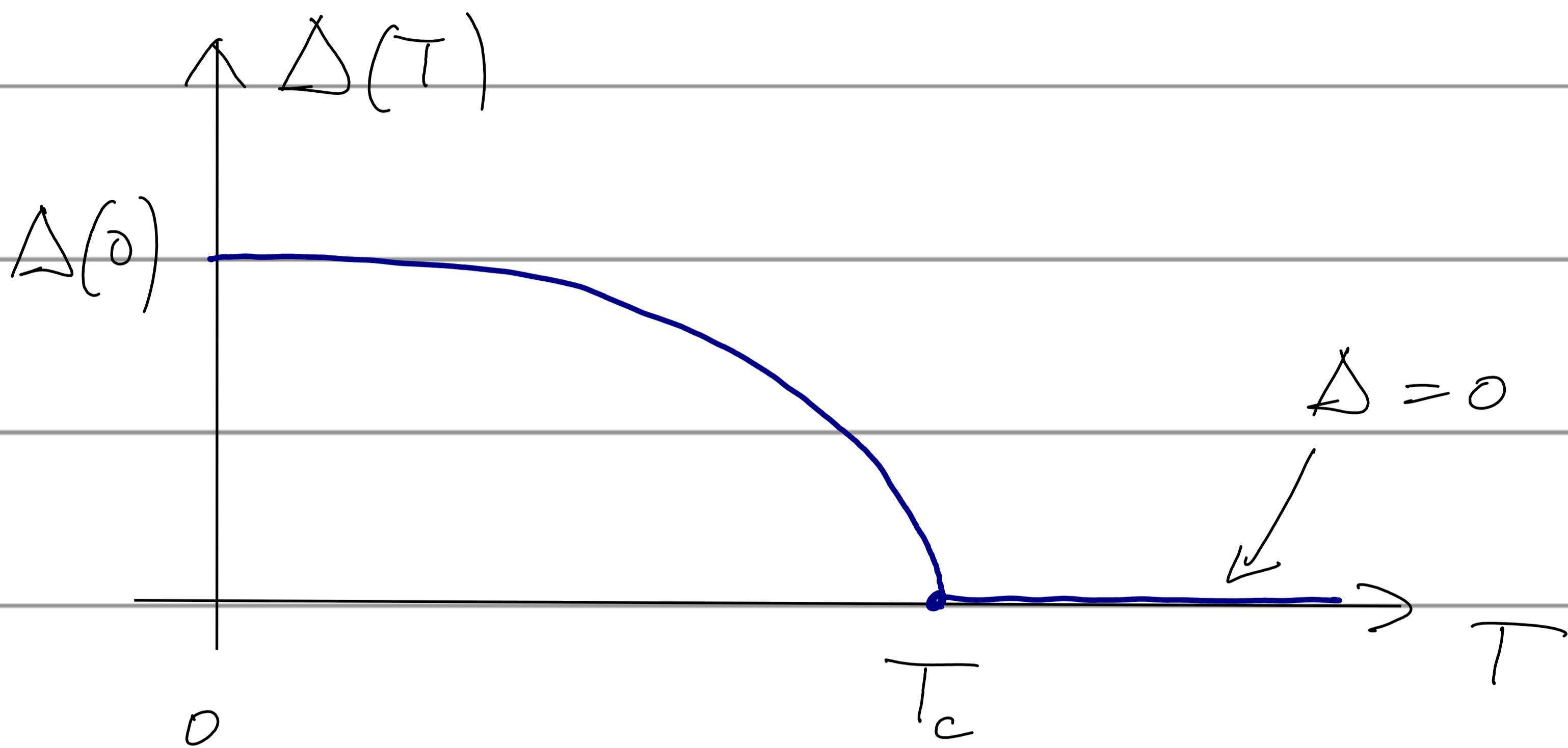
on déduit

$$6 \quad \Delta(0) = 2 E_D e^{-\frac{1}{V_0 g}}$$

→ hypothèse valable si  $V_0 g \gg 1$



⑥ On souhaite montrer l'existence suivante de la fonction  $\Delta: T \mapsto \Delta(T)$



Rem: dans (27-3), on a la solution  $\Delta = 0$ .

On veut montrer que il y a une certaine solution

$\Delta(T) > 0$  pour  $T < T_c$  et une certaine

valeur  $T_c > 0$ , appelée température critique

que l'on recherche.

On pose  $\beta = \frac{1}{kT}$ ,  $\beta_c = \frac{1}{kT_c}$ .

On cherche  $T_c$  tel que  $\Delta(T_c) = 0$ , solution de (27-4).

Pour  $\Delta = 0$ ,  $\beta = \beta_c$ , (27-4) donne  $S = (\varepsilon'^2 + \Delta^2)^{1/2} = |\varepsilon'|$

$$\frac{1}{V_0 g} = \int_0^{E_D} \frac{1}{S_p} \tanh\left(\frac{\beta}{2} S_p\right) d\varepsilon'$$

$$= \int_0^{E_D} \frac{1}{\varepsilon'} \tanh\left(\frac{\beta_c}{2} \varepsilon'\right) d\varepsilon'$$

on pose  $x = \frac{\beta_c}{2} \varepsilon'$

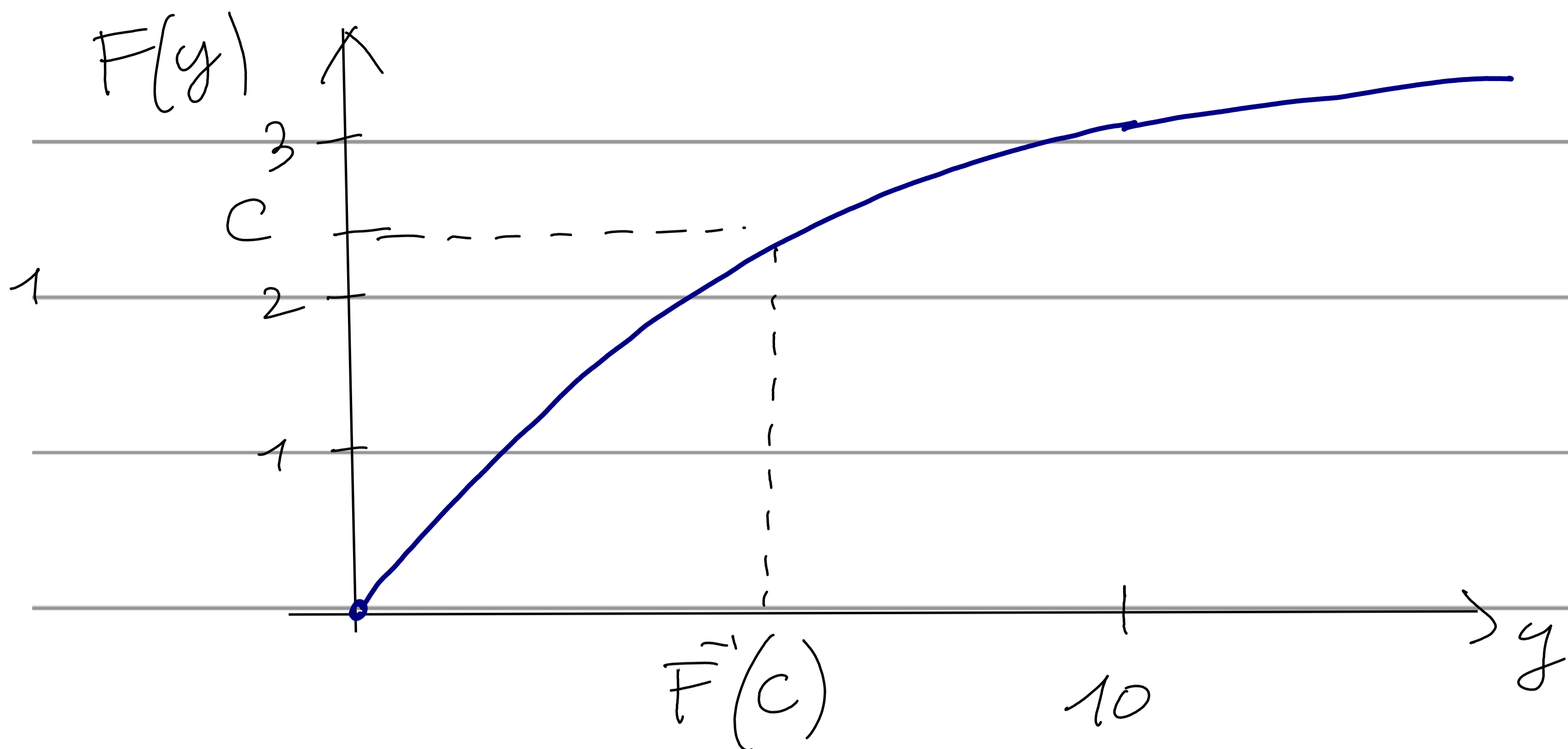
$$1 = \int_0^{\frac{\beta_c E_D}{2}} \frac{1}{x} \tanh(x) dx$$

Voici l'allure de la fonction  $F: y \mapsto \int_0^y \frac{1}{x} \tanh(x) dx$   
obtenue avec le logiciel gratuit en ligne

[xcas.fr.html](http://xcas.fr/html) et les commandes

$$F := \text{int}(\tanh(x)/x, x = \phi..y)$$

$$\text{plot}(F, y = \phi..1\phi)$$



2 On admet que pour  $C \gg 1$ ,  $F^{-1}(C) \approx \frac{\pi}{4e^\gamma} e^C$

3 Donc (30-1)  $\Leftrightarrow \frac{1}{V_0 g} = F\left(\frac{\beta_c E_D}{2}\right)$

4 et si  $\frac{1}{V_0 g} \gg 1$  ( $\Leftrightarrow$  si  $\Delta \ll E_D$  d'après (28-6))  
alors

$$5 \quad \frac{\beta_c E_D}{2} = F^{-1}\left(\frac{1}{V_0 g}\right) \stackrel{(31-2)}{\approx} \frac{\pi}{4e^\gamma} e^{\frac{1}{V_0 g}}$$

$$6 \quad \Leftrightarrow k T_c \approx \frac{2e^\gamma}{\pi} E_D e^{-\frac{1}{V_0 g}}$$

⑦ Dans ces derniers résultats, on ne connaît pas les paramètres  $E_D$ ,  $V_0$ ,  $g$  du modèle, mais il est remarquable que l'on déduit

le rapport universel:

$$\frac{2 \Delta(0)}{k T_c} \stackrel{\text{gap spectral}}{=} \frac{4 E_D e^{-\frac{1}{V_0 g}}}{E_D \frac{2 e^\delta}{\pi} e^{-\frac{1}{V_0 g}}} = \frac{2\pi}{e^\delta} \approx 3.53$$

$\nearrow$   $k T_c$  (31-6) (28-6)  
 $\nearrow$   $f^\circ$  unique

conforme aux expériences.